

ساختار میکروسکوپی پوشش‌های ترکیبات بین فلزی آلیاز‌های تیتانیم Ti-Ni-P و Ti-Ni

مهدی صالحی

دانشیار

دانشکده مهندسی مواد، دانشگاه صنعتی اصفهان

چکیده

در این تحقیق ساختار میکروسکوپی پوشش‌های بین فلزی Ti-Ni-P و Ti-Ni بر آلیاز‌های تیتانیم مورد بررسی قرار گرفته است. بدین منظور پوشش‌هایی از Ni - 12% P و Ni به ترتیب با روش‌های انباست الکترولیس و الکتریکی بر روی آلیاز‌های Ti 6Al 4V و تیتانیم خالص تجاری (CP) در ضخامت‌هایی از ۵۰ - ۲۰ μm گردید. سپس آنلیز نفوذی در یک گوره لوله‌ای با اتمسفر کنترل شده آرگون در دمای ۸۲۰°C صورت پذیرفت.

به منظور مطالعه ساختار میکروسکوپی و فازهای به وجود آمده در سطح از آزمایش‌های متالوگرافی، اسپکتروسکوپی پلاسمابی (GDOS) و تفرق اشعه ایکس (XRD) استفاده گردید.

یافته‌های آزمایشی نشان می‌دهد که در سطح آلیاز Ti 6Al 4V با پوشش نفوذی نیکل - فسفر شنی لایه مشخص و مجزا تشکیل گردیده که در این میان چهار لایه اول سطحی شامل ترکیبات بین فلزی $\text{Ti}_x\text{Ni}_y\text{P}_z$ بوده و لایه‌های پنجم و ششم محصول استحاله یوتکتوئیدی ($\alpha + \text{Ti}_2\text{Ni}$) می‌باشند. همچنین در سطح تیتانیم خالص تجاری (CP) با پوشش نفوذی نیکل سه لایه مشاهده گردید. لایه اول بر مبنای بررسی GDOS شامل دو فاز پیوسته و مجزای Ti_2Ni و Ti_2Ni_3 می‌باشد. لایه دوم محصول استحاله یوتکتوئیدی β و لایه سوم شامل توزیعی از ترکیب بین فلزی Ti_2Ni در مرز دانه‌های α بوده که حاصل کاهش حد حلزایت Ni در (α) می‌باشد.

Structural Characterization of Ti-Ni and Ti-Ni-P Coatings on Titanium Alloys

M. Salehi
Associate Professor

Department of Materials Engineering
Isfahan University of Technology

Abstract

The microstructure of novel intermetallic compound coatings of Ti-Ni-P and Ti-Ni on titanium alloys have been investigated. In this respect electroless Ni-12% P and Ni electroplated coatings with 20-50 μm thickness have been plated on Ti 6Al 4V alloy and commercially pure titanium (CP) substrates respectively. Consequently diffusion annealing was performed at 820°C in an argon controlled atmosphere. The annealing time have been optimized with respect to surface hardness conditions.

The structure and composition of surface treated titanium have been investigated by means of glow discharge spectroscopy (GDS), X-ray diffraction (XRD),

scanning electron microscopy (SEM) and metallography. Surface hardness profile and indentation behaviour have been determined by using a Leitz miniload microhardness tester.

Structural characterisation indicates that six distinct layers have been formed on the Ni-P diffusion coated Ti 6Al 4V surfaces. Among these, the first four layer are intermetallic compounds of $Ti_xNi_yP_z$. The fifth and sixth layers were identified as eutectoid transformation product ($\alpha + Ti_2Ni$). On the other-hand, only three layers were formed on the Ni coated CP titanium surfaces. According to GDS analysis, the first layer includes two separate but continuous Ti_2Ni and $TiNi_3$ phase structure. The second layer is eutectoid transformation product and the third layer is nikel enriched titanium, where transformed β has precipitated at α - grain boundaries.

۱- مقدمه

تیتانیم از اهمیت ویژه‌ای برخوردار است. بدین لحاظ می‌توان با بهینه سازی پارامترهای دما، زمان و اتمسفر عملیات آنلی، فازهای بین فلزی را در سطح تیتانیم ایجاد نمود.

در این مقاله، عملیات سطحی آلیاژ $Ti\ 6Al\ 4V$ و تیتانیم خالص تجاری (CP)، به ترتیب با استفاده از پوشش‌های نفوذی نیکل-فسفر و نیکل صورت گرفته است. در این رابطه، ابتدا لایه‌های مزبور بر روی زیر لایه‌های تیتانیمی اعمال و به دنبال آن عملیات آنلی آنها در شرایط مناسبی از دما، زمان و اتمسفر صورت گرفت و ساختار توسعه یافته در منطقه نفوذ، مورد بررسی قرار گرفته اند.

۲- مواد و روش تحقیق

۲-۱- مواد زیرلایه و پوشش

در این پژوهش، از آلیاژ $Ti\ 6Al\ 4V$ و تیتانیم خالص تجاری (CP) به عنوان مواد زیر لایه استفاده گردید. ساختار و ترکیب شیمیایی مواد مزبور به ترتیب در شکل ۱ و جدول ۱ نشان داده شده‌اند. این آلیاژ در شرایط تجاری کار گرم و آنلی شده مورد استفاده قرار گرفت. از این آلیاژ، نمونه‌هایی به ابعاد $10 \times 10 \times 20\ mm$ جهت بررسی ساختاری و $10 \times 20 \times 20\ mm$ برای آسپکتروسکوپی پلاسمایی (GDOS) تهیه گردیدند.

۲-۲- عملیات سطحی

در این تحقیق، عملیات سطحی نمونه‌های تیتانیمی توسط پوشش‌های نفوذی نیکل-فسفر و نیکل صورت گرفت. فرآیندهای مزبور از نقطه نظر نوع رسوبر اعمال شده بر روی سطح (لایه) و یا نوع زیرلایه قابل تقسیم به دو دسته می‌باشند: (۱) پوشش‌های نفوذی نیکل-فسفر

به منظور بهبود رفتار سایشی آلیاژ $Ti\ 6Al\ 4V$ تاکنون پوشش‌ها و عملیات‌های سطحی متعددی چون پوشش‌های یونی نیترید تیتانیم [۱]، کاشت یون نیتروژن [۲]، عملیات سطحی توسط پرتوهای پر انرژی لیزر و الکترون [۳، ۴] و نیتراسیون پلاسمایی [۵] بر روی آن مورد مطالعه قرار گرفته است. با وجود این هیچیک از روش‌های مزبور نتوانسته است کارآیی مطلوبی را تحت شرایط لغزشی خشک (بدون استفاده از روانکار) فراهم نماید.

اخیراً پوشش‌های نفوذی فلزی به عنوان یکی از روش‌های نوین اصلاح سطح تیتانیم مورد توجه خاصی قرار گرفته اند [۶]. در این روش ابتدا لایه‌ای از یک فلز و یا آلیاژ توسط یکی از تکنیک‌های انباشت الکتریکی، الکترولیس و یا رسوب فیزیکی بخار بر روی زیر لایه اعمال می‌گردد [۷]. سپس در مرحله بعد، عملیات آنلی نمونه‌های مزبور تحت شرایط کنترل شده‌ای از دما، زمان و اتمسفر صورت می‌گیرد. در نتیجه این فرآیند، نفوذ متقابل عناصر لایه و زیر لایه به وقوع پیوسته و منجر به تشکیل پوشش‌هایی می‌گردد که در مقایسه با پوشش‌های سخت سرامیکی از استحکام چسبندگی بالاتر و شبی سختی ملایم‌تری برخوردار هستند. در روش مزبور، انتخاب ماده لایه بر اساس حضور فازهای بین فلزی نوعاً سخت در سیستم‌های متشکل از عناصر لایه با زیرلایه صورت می‌پذیرد.

قابلیت بالای تیتانیم در تشکیل ترکیبات بین فلزی متعدد با عناصر واسطه، مبنای مهمی برای عملیات سطحی آن با استفاده از روش مزبور می‌باشد. در همین رابطه، نیکل به عنوان یک ماده لایه بر روی تیتانیم با توجه به توانایی تشکیل سه نوع ترکیب بین فلزی با

آبکاری در محدوده $90-95^{\circ}\text{C}$ حفظ گردید.

سرعت تهیه رسوب نیکل - فسفر توسط این حمام $15-20 \mu\text{m/h}$ براورد گردید. همچنین نمونه‌ها پس از لایه‌گذاری توسط آب مقطر شستشو، با استن خشک و به دسیکاتور انتقال یافتند.

طی عملیات مزبور، بر روی سطوح زیرلایه‌های $\text{Ti}_6\text{Al}_4\text{V}$ رسوب‌های نیکل - فسفر در محدوده ضخامت‌هایی از $20 \mu\text{m}$ اعمال گردیدند. اطمینان از حصول ضخامت‌های مزبور بر مبنای اندازه‌گیری ضخامت پوشش نمونه‌های شاهد توسط میکروسکوپ نوری بر روی مقاطع متالوگرافی آنها صورت گرفته است.

مرحله دوم: در این مرحله، عملیات آنیل نفوذی نمونه‌های پوشش داده شده با استفاده از یک کوره لوله‌ای صورت گرفت. برای جلوگیری از اکسیداسیون نمونه‌ها از یک اتمسفر آرگون استفاده گردید. دمای عملیات آنیل نیز با درنظر گرفتن دمای استحالت یوتکنوتیدی سیستم تیتانیم - نیکل، دمای یوتکنیک نیکل - فسفر، خطای کوره، سرعت نفوذ و رشد دانه برابر با 80°C انتخاب گردید. در ضمن، با توجه به خواص متفاوت لایه با زیرلایه، نمونه‌ها قبل از رسیدن به دمای مزبور به مدت ۱ ساعت در دمای 400°C آنیل گردیدند. در نتیجه این امر، پیوندهای نفوذی در فصل مشترک لایه با زیرلایه ایجاد گردیده و لذا احتمال گسیختگی در فصل مشترک از بین می‌رود.

در فرآیند مزبور، هر یک از نمونه‌های آزمایشی با توجه به ضخامت لایه نیکل - فسفر اعمالی بر روی آن، در زمان‌های متعددی آنیل گردیدند. در این رابطه، بر مبنای تشکیل ترکیبات بین فلزی با سختی بالا و عمق نفوذ مناسب در سطح، بهینه سازی زمان عملیات آنیل صورت گرفته است. در جدول ۲ زمان‌های بهینه آنیل برای هر یک از ضخامت‌ها ارائه گردیده است.

۲-۲- پوشش‌های نفوذی نیکل بر روی تیتانیم

CP

در مرحله اول فرآیند تولید پوشش‌های نفوذی نیکل بر روی تیتانیم CP، نخست این نمونه‌ها به طریق مشابه با نمونه‌های $\text{Ti}_6\text{Al}_4\text{V}$ آماده سازی گردیدند. پس از عملیات آماده سازی، اعمال رسوب نیکل به روش آبکاری الکتریکی و با استفاده از یک حمام واتز^۱ صورت گرفت. در این حمام نمونه‌ها توسط سیستم‌هایی از فولاد زنگ نزن به قطب منفی یک رکتی فایر اتصال و از یک صفحه

بر روی آلیاژ $\text{Ti}_6\text{Al}_4\text{V}$ (۲) پوشش‌های نفوذی نیکل بر روی تیتانیم CP. هر یک از این عملیات‌های طی دو مرحله صورت گرفته‌اند: در مرحله اول ماده لایه (Ni-P یا Ni) بر روی زیرلایه‌های مذکور اعمال و سپس در مرحله دوم با انجام عملیات آنیل نفوذی تحت شرایط کنترل شده دما، زمان و اتمسفر، نفوذ متقابل عناصر لایه و زیرلایه به وقوع پیوسته است.

انتخاب Ni-P و Ni به عنوان ماده لایه، به منظور تشکیل ترکیبات بین فلزی Ti-Ni-P و Ni-Ti بر روی سطح زیرلایه‌های مزبور صورت گرفته است.

۲-۲-۱- پوشش‌های نفوذی نیکل - فسفر بر روی آلیاژ $\text{Ti}_6\text{Al}_4\text{V}$

برای تشکیل پوشش‌های نفوذی نیکل - فسفر بر روی آلیاژ $\text{Ti}_6\text{Al}_4\text{V}$ ، ابتدا رسوب P-Ni به روش الکترولیس بر روی زیرلایه‌های مزبور اعمال (مرحله اول) و سپس با انجام عملیات آنیل شرایط نفوذ متقابل عناصر لایه با زیرلایه محقق گردید (مرحله دوم). جزئیات مراحل مزبور به تفصیل در زیر تشرییغ گردیده است:

مرحله اول: عملیات آماده سازی سطح تیتانیم از اهمیت قابل ملاحظه‌ای در روند اعمال پوشش‌های فلزی، کمپوزیتی و سرامیکی بر روی آن برخوردار است. در این رابطه به لحاظ حضور لایه اکسیدی سمح بر جای مانده از فرآیند تولید، ابتدا لایه مزبور به وسیله سنگرزی و یا محلول شیمیایی (ترکیبی از HF و HNO_3) از روی سطح زیرلایه حذف گردید. سپس نمونه‌ها توسط کاغذ سنباده 80 تا 220 پولیش مکانیکی و به وسیله آب مقطر و ساتن به ترتیب تمیز و چرب زدایی گردیدند. در ادامه به منظور ایجاد چسبندگی بهتر، سطوح زیرلایه‌های مزبور به مدت 30 تا 60 ثانیه در محلولی مرکب از 2 درصد HNO_3 ، 1 درصد HF و 97 درصد H_2O فعال گردید. پس از عملیات فعال سازی، نمونه‌ها به سرعت در آب مقطر شستشو و بلا فاصله به حمام آبکاری الکترولیس انتقال یافتند.

آنالیز میزان فسفر موجود در پوشش‌های حاصل از این حمام که توسط اسپکتروسکوپی پلاسمایی صورت گرفت، 12 درصد وزنی بود. در فرآیند مزبور PH حمام به وسیله محلول آمونیاک 20 درصد، در محدوده $4/8-5$ کنترل گردید و انرژی مورد نیاز واکنش نیز به وسیله گرم کردن محلول توسط یک گرم کننده اتوماتیک از نوع صفحه داغ تأمین شد. دمای محلول در سراسر عملیات

- ۴- پراش پرتوایکس (XRD)**
- شناسایی فازهای موجود در منطقه نفوذی با استفاده از دستگاه پراش پرتوایکس (Shimadzu XD-610) صورت گرفت. دستگاه مزبور قادر به تفرق سنجی بر روی نمونه های جامد و پودری است. در این پژوهش به عنوان هدف از α با $1/\sqrt{d}$ و 40KV و 40mA بود. ولتاژ و جریان اعمالی به ترتیب 40KV و 40mA بود. نرخ روبش طی آنالیز نیز $1\text{deg}/\text{min}$ بود. در آنالیز مزبور به منظور اطمینان از دریافت پیک ها، ابتدا روبش سریعی در زاویه 2θ بین 20° تا 120° درجه صورت گرفت.
- به منظور شناسایی فازهای موجود در هر یک از لایه های سطحی از تکنیک لایه برداری استفاده گردید. در این روش آزمایش XRD پس از برداشتن هر یک از لایه های سطحی با انجام عملیات پولیش بر روی نمونه صورت می پذیرد که در این صورت حذف پیک های مربوط به یک فاز به معنی حضور فاز مزبور در لایه برطرف شده می باشد.
- ۵- اسپکتروسکوپی پلاسمایی (GDOS)**
- مطالعه تغییرات ترکیب شیمیایی از سطح نمونه های عملیات سطحی شده به سمت عمق، توسط یک دستگاه اسپکتروسکوپی پلاسمایی صورت گرفته است.
- سیستم GDOS، امروزه یکی از پیشرفت‌ترین دستگاه های آنالیز شیمیایی محسوب می گردد که قادر به آنالیز تغییرات ترکیب عنصری در لایه های نازک، در فصل مشترک لایه بازیرلایه و در حجم می باشد [۸].
- دقت دستگاه ۷۵۰ GDOS در اندازه گیری ترکیب شیمیایی و ضخامت لایه برداری به ترتیب $0.1 / 0.1 \text{nm}$ درصد 10°A^- می باشد.
- در این پژوهش، نمونه های مورد استفاده جهت آنالیز GDOS در ابعاد $10 \times 20 \times 20 \text{mm}$ انتخاب و پس از عملیات سطحی موردن آنالیز قرار گرفته اند. در دستگاه مزبور ناحیه ای از نمونه های مزبور به قطر 8mm تحت آنالیز قرار گرفته است.
- ۳- نتایج**
- ۱- ساختار پوشش های نفوذی نیکل-فسفر بر روی آلیاژ $\text{Ti}_6\text{Al}_4\text{V}$**
- سطح مقطع متالوگرافی نمونه های عملیات سطحی شده $\text{Ti}_6\text{Al}_4\text{V}$ تحت شرایط بهینه عملیات [۶] در شکل ۲ نشان داده
- نیکل نیز به عنوان آند استفاده گردید. ترکیب حمام مزبور مشکل از 20gr/lit سولفات نیکل، 37gr/lit کلرور نیکل و 25gr/lit اسید بوریک بود. طی عملیات مزبور دمای محلول به وسیله یک گرم کننده اتموماتیک در محدوده $50-55^\circ\text{C}$ کنترل گردید. دانسیته جریان 5ampdm^2 نسبت آند به کاتد نیز یک به یک انتخاب گردید. همچنین برای حصول پوشش هایی یکنواخت و با تخلخل کم از یک همزن مغناطیسی استفاده گردید.
- در این فرآیند، رسوب های نیکل با ضخامت های مشابه با پوشش های نیکل - فسفر ($20-50\mu\text{m}$) بر روی نمونه های CP اعمال گردید. به دنبال آن عملیات، آنلیز نفوذی نمونه ها با استفاده از یک کوره لوله ای و در جریانی از گاز آرگون صورت گرفت. در این عملیات، دمای آنلیز دوباره با استدلالی مشابه با آنچه که در مورد $\text{Ti}_6\text{Al}_4\text{V}$ پوشش های نفوذی نیکل - فسفر بر روی آلیاژ $\text{Ti}_6\text{Al}_4\text{V}$ به عمل آمد، همان 820°C انتخاب گردید. در ضمن تمامی نمونه ها قبل از رسیدن به دمای مزبور به مدت یک ساعت در دمای 400°C آنلیز گردیدند.
- در این عملیات، زمان آنلیز از پارامترهای بسیار مهم محاسبه می گردد. بدین لحاظ، نمونه ها بر حسب ضخامت لایه اعمالی بر روی آنها در زمان های متعددی آنلیز گردیده و بالاخره بر مبنای بهترین شرایط سختی سطحی برای هر یک از ضخامت ها زمان آنلیز بهینه ای انتخاب گردیده است. زمان های بهینه مزبور در جدول ۲ ارائه گردیده اند.
- ۲- متالوگرافی**
- برای انجام متالوگرافی، ابتدا مقاطع مناسبی از نمونه های عملیات سطحی شده و خام تهیه گردید. مقاطع مزبور سپس مانند گردیده و توسط کاغذ سنباده های 80×500 تحت سنباده زنی قرار گرفتند. عملیات پولیش آنها نیز به ترتیب با پودرهای الماسی $6, 2$ و 1 میکرون صورت گرفت. آنگاه برای آشکار سازی ریز ساختارها بر حسب نوع زمینه از محلول های زیر استفاده گردید:
- ۱- محلول 2HF درصد $1/5$ و $98\text{H}_2\text{O}$ برای اج نمونه های CP
 - ۲- محلول $1/5\text{HNO}_3$ درصد $2/5$ و $96\text{H}_2\text{O}$ برای اج نمونه های $\text{Ti}_6\text{Al}_4\text{V}$.
- درصد $1/5\text{HF}$ برای اج نمونه های $\text{Ti}_6\text{Al}_4\text{V}$ ریز ساختارهای پولیش و اج شده مزبور توسط میکروسکوپ نوری موردن مطالعه قرار گرفت.

کمتر از ۱۰ درصد می‌باشد. بر مبنای نتایج مزبور، لایه پنجم، نیز همانگونه که براساس مشاهده ریز ساختار آن انتظار می‌رفت، متشكل از Ni-6%Ni بوده و لذا مطابق دیاگرام تعادلی تیتانیم- نیکل (شکل ۹) دارای ترکیب یوتکتوئیدی است.

نتایج مربوط به آزمایش‌های تفرق اشعه ایکس (XRD) که بر روی سطح خارجی پوشش صورت گرفته، در شکل ۹ نشان داده شده است. همانگونه که مشاهده می‌شود، در لایه نزدیک سطح فازهای Ni_3P , Ni_3Ti و Ti_4P_3 آشکار گردیده‌اند. ملاحظه این نتایج به همراه آنالیزهای GDOS میان کاهش غلظت Ni و افزایش غلظت Ti با فاصله گرفتن از سطح به سمت زمینه و در نهایت ناپدید شدن فازهای Ni_3Ti , Ti_4P_3 و حصول فازهای $Ti(\alpha)$, $Ti(\beta)$ و Ti_2Ni است. با وجود این به دلیل حضور شش عنصر نفوذ کننده در ساختار مزبور، تعیین دقیق ترکیبات بین فلزی مستلزم کاریسیار بیشتری می‌باشد.

۳- ساختار پوشش‌های نفوذی نیکل بر روی تیتانیم CP

شکل ۱۰، ریز ساختار شاخص پوشش‌های نفوذی نیکل، روی تیتانیم CP تحت شرایط بهینه عملیات آنیل را نشان می‌دهد. ترتیب مرفوولوژی ساختاری نمونه‌های مزبور از سطح به سمت زمینه، متشكل از سه لایه متالوگرافی است. اولین لایه مزبور براساس بررسی‌های اسپکتروسکوپی پلاسمایی (GDOS) متشكل از دو فاز بین فلزی مجزا است شکل (۱۱-ب). دومین لایه متالوگرافی مزبور نیز همانطور که مشاهده می‌شود دارای ضخامتی زیاد و مرفوولوژی لایه‌ای می‌باشد. این لایه حاصل استحاله یوتکتوئیدی محلول جامد β است، که به یک مخلوط $+Ti_2Ni$ (سوختنی) α تغییر حالت داده است. فصل مشترک لایه مزبور با لایه اول برخلاف لایه مشابه در پوشش‌های نفوذی نیکل - فسفر دارای فصل مشترکی غیر مسطح بوده و به صورت دندانه‌ای است. ریز ساختار لایه مزبور بعد از حذف لایه‌های روئی آن در شکل ۱۲ نشان داده شده است. آخرین لایه تشکیل شده در منطقه نفوذی ساختارهای مزبور (لایه سوم) نیز یک لایه نفوذی است. تشکیل لایه مزبور ممکن است، حاصل سرد گردیدن تعادلی محلول جامد α باشد که در طی عملیات آنیل به وجود آمده است. مرزهای دانه (α) Ti_2Ni در این لایه را، ترکیب بین فلزی در برگرفته است. در شکل ۱۲، ساختار زمینه CP پس از عملیات آنیل نفوذی نشان داده شده است. مقایسه این ریز ساختار با

شده‌اند. همانگونه که مشاهده می‌شود در نتیجه بهینه سازی پارامترهای فرآیند ساختارهایی دارای شش لایه مجزا در منطقه نفوذی تشکیل گردیده است.

لایه‌های اول تا چهارم متشكل از ترکیبات بین فلزی Ti-Ni-P بوده که به صورت پیوسته و به موازات یکدیگر با فصل مشترک‌هایی نیز تشکیل گردیده‌اند. لایه پنجم با مرفوولوژی لایه‌ای محصول استحاله یوتکتوئیدی محلول جامد β است. لایه ششم نیز یک لایه نفوذی است که در منطقه پایانی نفوذ نیکل در تیتانیم تشکیل گردیده و با رفتن به سمت زمینه از تراکم نیکل در آن کاسته شده است. لایه مزبور، می‌تواند محصول استحاله β ، منتها با ترکیب هیپویوتکتوئید باشد. ضخامت این لایه در مقایسه با سایر لایه‌های موجود نوعاً بالاتر است.

در شکل‌های ۳ و ۴ ریز ساختار نوری لایه‌های پنجم و ششم بعد از حذف لایه‌های روئی آنها نشان داده شده است. ملاحظه ریز ساختارهای مزبور میان تشکیل محصولات استحاله یوتکتوئیدی در سراسر ضخامت لایه پنجم و در مرزهای دانه (α) در لایه ششم است. در شکل ۵، ساختار زمینه Ti_6Al_4V بعد از عملیات آنیل نشان داده شده است. مقایسه ریز ساختار مزبور با ریز ساختار عملیات نشده مرفوولوژه (شکل ۱) نشان دهنده بزرگتر شدن دانه‌ها به میزان بسیار محدودی طی عملیات آنیل است.

در شکل ۶، نتایج بررسی‌های اسپکتروسکوپی پلاسمایی (GDOS) یکی از نمونه‌های عملیات سطحی شده ($20 \mu m$) در زمان‌های کمتر از بهینه و زمان بهینه مطابق جدول ۲ آورده شده است. در این نمودارها، تغییرات غلظت عناصر لایه (Ni و P) و زیرلایه (Ti, Al, O) نمایش داده شده است. همانگونه که ملاحظه می‌گردد، طی عملیات آنیل، نفوذ متقابل عناصر لایه با زیرلایه به وقوع پیوسته است. مشاهده نمودارهای مزبور (شکل ۶)، همچنین میان نفوذ بسیار سریعتر Ti در درون زیرلایه در مقایسه با نفوذ Ti در لایه بوده و ترکیب لایه مجاور سطح بر طبق دیاگرام تعادلی نیکل - فسفر (شکل ۷) تقریباً مطابقت با فاز سرامیکی P Ni_3P می‌نماید. در بین عناصر لایه، نفوذ فسفر (P) قابل ملاحظه نمی‌باشد.

در این شکل، همچنین مناطقی به صورت تپه و دره در برخی از منحنی‌های غلظت مشهود است. با گذشت زمان و حصول زمان بهینه نفوذ [۷ و ۶]، Ti خود را به سطح رسانده و در سطح انباشته گردیده و غلظت آن به حدود ۹۰ درصد رسیده است، در حالی که غلظت نیکل

در همین رابطه به نظر می‌رسد که وقوع این انباستگی ممکن است در نتیجه تشکیل ترکیبات بین فلزی پایدار و عدم وجود ماده آزاد اضافی از عناصر پوشش (P) یا Ni برای ایجاد یا توسعه ترکیبات بین فلزی با اتم‌های تیتانیمی که در حال نفوذ به سمت سطح هستند، به وقوع پیوسته باشد.

نتایج حاصل از پراش پرتوایکس (XRD)، که بر روی سطح خارجی نمونه‌های مزبور صورت گرفته است، تشکیل فازهای Ni_3Ti , Ni_3P و Ti_4P_3 را آشکار ساخته است (شکل ۹). بدیهی است، فازهای مزبور در ناحیه‌ای از سطح خارجی تا عمقی که در برگیرنده عمق نفوذ اشعه و شدت مناسب الگوهای تفرق بوده است، آشکار گردیده‌اند. تعیین کلیه فازها در هر یک از لایه‌ها مستلزم تحقیقات تفرق سنجی در آن نواحی بوده و توسط نمودار تغییرات غلظت (شکل ۶ ب) به لحاظ تعداد زیاد عناصر لایه و زیر لایه نمی‌توان فازهای موجود را با دقت مشخص نمود. با وجود این، نمودار مزبور می‌کاهش غلظت نیکل و فسفر و افزایش غلظت تیتانیم از سمت سطح به سوری زمینه بعد از لایه سطحی می‌باشد. بنابراین، ملاحظه توان نمودار اسپکتروسکوپی پلاسمایی (شکل ۶ - ب) و دیاگرام تعادلی نیکل - فسفر (شکل ۷) و نیکل تیتانیم (شکل ۹)، انتظار تشکیل فازهای Ni_3Ti و Ni_3P_2 را در سمت زمینه و بعد از فازهای Ti_2Ni و Ni_3P متحمل می‌سازد. در همین رابطه، چنین ترتیبی از فازهای مزبور در عملیات سطحی آلیاژ Ti 6Al ۴V توسط پوشش‌هایی نفوذی الکتروولس نیکل نیز گزارش گردیده است [۱۴].

نمودار آنالیز اسپکتروسکوپی پلاسمایی (شکل ۶ - ب) همچنین تعداد لایه‌های تشکیل شده در ریز ساختار و موقعیت آنها را نیز مشخص نموده است. در این رابطه همچنانکه گفته شده است، در مرزهای بین لایه‌های حاصل از نفوذ متقابل عناصر در یک نوج نفوذی به لحاظ تغییرات ترکیب عناصر تشکیل دهنده آنها شبیه‌های تند بوجود می‌آید. بنابراین از ملاحظه نمودار GDOS مزبور استنطباط می‌شود که نواحی دارای شبیب تند مرزهای بین این لایه هستند.

لایه پنجم ریز ساختارهای مزبور (شکل ۲) دارای ضخامتی زیاد و مورفوولوژی لایه‌ای است. ترکیب این لایه، براساس آنالیز اسپکتروسکوپی پلاسمایی (شکل ۶ - ب) متخلک از $\text{Ni} - \text{Ti}$ بوده که مطابقت با ترکیب یوتکتوئید β در سیستم تیتانیم - نیکل می‌نماید [۱۶].

ریز ساختار نمونه‌های خام مربوطه (شکل ۱ - ب) می‌بین بزرگتر شدن به مراتب بالاتر دانه‌های مزبور در مقایسه با آلیاژ Ti 6Al ۴V است.

ملاحظه نتایج بررسی‌های اسپکتروسکوپی پلاسمایی (شکل ۱۱) که بر روی یکی از نمونه‌های مزبور $20 \mu\text{m}$ صورت گرفته است. نشان می‌دهد که بر روی سطح هنوز نیکل باقی مانده حضور دارد. بنابراین سختی سطحی پایین این نمونه‌ها که در مطالعات قبلی [۷]، مشاهده گردیده بود، در نتیجه همین امر است. با گذشت زمان و حصول زمان بهینه، بر روی سطح (در اولین لایه) فاز بین فلزی Ni_3Ti مطابق دیاگرام تعادلی (شکل ۱۴) تشکیل گردیده است. در مجاورت فاز مزبور، ترکیب فاز بعدی تقریباً مطابقت با ترکیب بین فلزی Ti_2Ni در این لایه می‌نماید. ترکیب لایه نیز همانگونه که از مرفوولوژی ساختار انتظار می‌رفت، مطابقت با ترکیب یوتکتوئیدی β می‌نماید. در شکل ۱۵، نتایج مربوط به آنالیز تفرق اشعه ایکس (XRD) که بر روی سطح خارجی پوشش صورت گرفته است، نشان داده شده است. در این بررسی فازهای Ti_2Ni و Ni_3Ti و آشکار گردیده‌اند.

۴ - بحث

۴-۱ - ساختار پوشش‌های نفوذی نیکل - فسفر بر روی آلیاژ Ti 6Al ۴V

حضور چهار لایه پیوسته و مجزا از ترکیبات بین فلزی در ریز ساختار آلیاژ Ti 6Al ۴V عملیات سطحی شده توسط پوشش‌های نفوذی نیکل - فسفر، میان ایجاد تغییرات ساختاری مشهودی بر اثر عملیات آنلیل در این پوشش‌هاست (شکل ۲). نمودار آنالیز اسپکتروسکوپی پلاسمایی (شکل ۶ - الف) نشان می‌دهد، که تشکیل و توسعه لایه‌های بین فلزی مزبور همگام با نفوذ تیتانیم از فصل مشترک اولیه پوشش با زمینه به سمت سطح خارجی صورت گرفته است.

در نتیجه افزایش زمان عملیات آنلیل و حصول زمان بهینه، همانگونه که در شکل ۶ - ب مشاهده می‌شود. تیتانیم نه تنها خود را به سطح رسانیده است، بلکه انباستگی وسیعی نیز از آن بر روی سطح تشکیل گردیده است. بر اثر این انباستگی، غلظت تیتانیم در این لایه نازک بر روی سطح به حدود 90° درصد و در مقابل غلظت نیکل به کمتر از 10° درصد رسیده است.

بدیهی مزبور، نتیجه‌ای منطقی از توسعه نفوذ بر مبنای شبیه‌اکتیویته به جای شبیه غلظت می‌باشد [۱۲ و ۱۳].

سریعتر نیکل در تیتانیم گزارش گردیده است [۱۹]. در بررسی مزبور، دلیل این امر متأثر از پیچیدگی پدیده نفوذ در سیستم‌های دارای حد حلالیت به لحاظ نقش پارامترهای ترمودینامیکی و سینتیکی دانسته شده است.

ملاحظه ساختار زمینه آلپا_۲Ti ۶AL ۴V بعد از ۲۰ ساعت آنیل (شکل ۵) و مقایسه آن با ساختار زمینه قبل از عملیات آنیل (شکل ۱-الف)، به جز اثر بسیار اندک آن بزرگ شدن اثراها تغییرات دیگری را سبب نگردیده است. ساختار زمینه بعد از آنیل، همانگونه که مشاهده می‌گردد، متشكل از فاز هم محور α و فاز β در مرزهای آن می‌باشد.

۴-۲- ساختار پوشش‌های نفوذی نیکل بر روی تیتانیم CP مطابق نتایج آنالیز اسپکتروسکوپی پلاسمایی، اولین لایه موجود در ریز ساختار پوشش نفوذی نیکل بر روی تیتانیم CP متشكل از دو فاز بین فلزی پیوسته و مجزاست (شکل‌های ۱۰ و ۱۱-ب). فازهای مزبور به ترتیب از سطح به سمت عمق متشكل از ترکیبات بین فلزی Ni_3Ti و Ti_2Ni می‌باشند. حضور این فازها، در نتایج تفرق سنجی اشعة ایکس نیز که بر روی سطح خارجی پوشش‌های مزبور صورت گرفته است، تأیید شده است (شکل ۱۵). ضخامت لایه Ni_3Ti در مقایسه با لایه Ti_2Ni همانگونه که در شکل (۱۱-ب) مشاهده می‌شود، بسیار کمتر بوده و تشکیل آن نیز، بعد از تشكیل لایه Ni_3Ti صورت گرفته است. عدم مشاهده مرز بین دو فاز از یکدیگر می‌تواند متأثر از ظرافت بسیار زیاد فصل مشترک آنها باشد، به طوری که میکروسکوپ نوری قادر به آشکارسازی آن نگردیده است. در زمان‌های کمتر آنیل بر روی سطح هنوز نیکل تغییر نیافته و یا فازی بسیار غنی از نیکل حضوردارد (شکل ۱۱-ب). پدیده مزبور، مؤید تشکیل ترکیبات بین فلزی از فصل مشترک لایه با زیر لایه به سمت سطح، همانند پوشش‌های نفوذی نیکل - فسفر می‌باشد.

دومین لایه ساختارهای مزبور مطابق شکل‌های ۱۰ و ۱۲ دارای مرفولوژی لایه ای بوده و ترکیب آن نیز مطابق آنالیز اسپکتروسکوپی (شکل ۱۱-ب)، متشكل از $Ti-5\%Ni$ می‌باشد. بنابراین، تطبیق این نتایج با دیاگرام تعادلی تیتانیم - نیکل (شکل ۹) آشکار می‌سازد که لایه مزبور نیز همانند لایه پنجم پوشش‌های نفوذی نیکل - فسفر محصول استحاله یوتکتوئیدی فاز β است، که به یک ساختاری متشكل از فازهای $Ti(\alpha) + Ti_2Ni$ درصد نیکل) با تیتانیم نیز نفوذ بسیار

بنابراین، استنباط می‌شود که فاز مزبور در نتیجه نفوذ نیکل در تیتانیم در دمای عملیات آنیل ($C^{۲۰}$) مطابق دیاگرام تعادلی تیتانیم - نیکل تشکیل گردیده است. استحاله این فاز در نتیجه سرد کردن نمونه در کوره به وقوع پیوسته و ریز ساختاری را مشکل از فازهای $Ti(\alpha) + Ti_2Ni$ در دمای محیط به وجود آورده است (شکل ۳).

ششمین لایه به وجود آمده در این ریز ساختارها (شکل ۴) آخرین لایه تشکیل شده در منطقه پایانی نفوذ نیکل در زیر لایه می‌باشد. ریز ساختار مزبور مشکل از دانه‌های تقریباً کروی (α) است که در مرزهای آن محصولات استحاله یوتکتوئیدی فاز $Ti(\alpha) + Ti_3Ni$ → β تشکیل گردیده اند. بنابراین، لایه مزبور نیز محصول استحاله فاز β ، متنها با ترکیب هیپوبوتکتوئید می‌باشد. ضخامت این لایه در نوع خود بیشتر از لایه پنجم می‌باشد.

مشاهده ضخامت لایه‌های توسعه یافته در منطقه نفوذی (شکل ۲) نشان می‌دهد که در بین چهار لایه پیوسته از ترکیبات بین فلزی، لایه اول در مقایسه با سایر لایه‌ها از ضخامت بیشتری برخوردار است. همچنین لایه‌های پنجم و ششم به ترتیب دارای بالاترین ضخامت‌ها در این ریز ساختار می‌باشند. علاوه بر این، نقش افزایش ضخامت پوشش نیز به طور عمدۀ بر افزایش ضخامت لایه‌های اول، پنجم و ششم بوده است. در این رابطه همانگونه که اشاره گردید ضخامت لایه‌های حاصل از نفوذ متقابل عناصر در یک زوج نفوذ متأثر از سرعت‌های نسبی حرکت مرزهای آنهاست. مرزهای هر یک از لایه‌ها در طی نفوذ علاوه بر اینکه ساکن نیستند، دارای سرعت حرکت یکسانی نیز بوده و در واقع نفوذ، حرک و کنترل کننده آنهاست. سرعت حرکت یک مرز، به طور کلی تابع عواملی چون غلظت فازها در مرز، ضرایب نفوذ و شبیه‌های غلظت می‌باشد (۱۷-۱۸).

نفوذ بسیار سریعتر نیکل در زیر لایه در مقایسه با تیتانیم در لایه از ویژگی هایی است، که در پوشش‌های مزبور مشاهده می‌گردد (شکل ۶-الف). در این رابطه استنباط می‌شود، اگر چه نسبت T/Tm برای نیکل بیشتر از تیتانیم است، لیکن پدیده مزبور تنها محدود به آن نبوده، بلکه نقش عوامل دیگری چون ترکیب موضعی، نفوذ اجزاء و زمان عملیات حرارتی نیز حائز اهمیت است. در بررسی‌های مربوط به نفوذ متقابل پوشش‌های اینکوئنل (دارای ۵۲ درصد نیکل) با تیتانیم نیز نفوذ بسیار

گردیده است.

نفوذ نیکل تا اعمق زیاد (حدود $60 \mu\text{m}$ طی ساعت آنیل) در زیر لایه های تیتانیم CP از پدیده های جالبی است که در پوشش های مزبور مشاهده گردیده است (شکل ۱۰). مقایسه این مسافت با عمق نفوذ نیکل در زیر لایه های آلیاژ $\text{Ti}_6\text{Al}_4\text{V}$ (شکل ۲)، سرعت بسیار بیشتر نیکل در تیتانیم CP را به خوبی آشکار می نماید. دلیل این امر را می توان بنابر آنچه تاکنون در مورد نفوذ در سیستم های دارای حد حلالیت اشاره گردید، متأثر از عناصر آلیاژی زمینه، فسفر پوشش و عامل مهمتر از آنها یعنی نقش ترکیبات بین فلزی متعدد، آن هم با فصل مشترک هایی یکنواخت داشت که در پوشش های نفوذی نیکل - فسفر تشکیل گردیده اند. در صورتی که در پوشش های نفوذی نیکل اعمال شده بر روی تیتانیم CP علاوه بر اینکه ترکیبات بین فلزی کمتری تشکیل گردیده است، فصل مشترک لایه های ترکیب بین فلزی با لایه حاصل از استحاله یوتکتوئیدی نیز غیریکنواخت می باشد. بنابراین نفوذ سریعتر نیکل در زیر لایه CP نسبت به زیر لایه $\text{Ti}_6\text{Al}_4\text{V}$ دور از انتظار نمی باشد.

ملحوظه ساختار CP بعد از ۲۰ ساعت آنیل (شکل ۱۴) و مقایسه آن با ساختار زمینه قبل از عملیات آنیل (شکل ۳ - ب)، مبين رشد نسبتاً زیاد دانه ها در مقایسه با زمینه های آلیاژ $\text{Ti}_6\text{Al}_4\text{V}$ (شکل ۴) است. تغییرات مزبور، متأثر از نقش ناصر آلیاژی Al و V در جلوگیری از رشد زیاد دانه ها در تیتانیم آلیاژ می باشد.

۵- نتیجه گیری

۱- انباست پوشش های Ni-P و Ni بر روی آلیاژ های تیتانیم و سپس عملیات آنیل نفوذی در دمای 820°C منجر به تشکیل ترکیبات بین فلزی بر روی سطح زیر لایه های مزبور می گردد.

۲- عملیات نفوذی آلیاژ $\text{Ti}_6\text{Al}_4\text{V}$ توسط پوشش های $\text{Ni} - 12\% \text{P}$ منجر به تشکیل شش لایه مجزا بر روی سطح گردیده که چهار لایه اول شامل ترکیبات بین فلزی Ti-Ni-P بوده و لایه های پنجم و ششم محصولات استحاله یوتکتوئیدی $(\alpha + \text{Ti}_2\text{Ni})$ می باشند.

۳- عملیات نفوذی تیتانیم خالص تجاری (CP) توسط پوشش های Ni منجر به تشکیل سه لایه مجزا بر روی سطح گردیده که لایه اول شامل فاز های بین فلزی Ti_2Ni و TiNi_3 محسوب است. لایه سوم مشکل از فاز Ti_2Ni در مرز دانه های (α) بوده است.

استحاله یافته است. ضخیم تر بودن لایه ها در این ریز ساختار در مقایسه با ساختار مشابه پوشش های نفوذی نیکل - فسفر (شکل ۲) متأثر از عدم حضور عنصر آلیاژی در زیر لایه است.

آخرین لایه تشکیل شده در منطقه پایانی نفوذ نیکل در تیتانیم (شکل ۱۰)، لایه ای نفوذی است که در آن مرزهای دانه تیتانیم آلفا را ترکیب بین فلزی Ti_2Ni در برگرفته است. لایه مزبور از یک طرف باقیجه به موقعیت آن در منطقه پایانی نفوذ که غلظت نیکل آن بسیار ناچیز است و از طرف دیگر حضور ترکیب بین فلزی Ti_2Ni در مرزهای دانه (α) ، به احتمال قوی محصول مطلق جامد a مطابق دیاگرام تعادلی تیتانیم - نیکل (شکل ۸) می باشد. فاز a مطابق دیاگرام تعادلی مزبور، در اثر سرد شدن تا دمای محیط، Ni مازاد بر حد حلالیت خود را به صورت Ti_2Ni پس زده است.

تطابق مطالعات شناسایی فاز در پوشش های مزبور با دیاگرام تعادلی تیتانیم - نیکل، مبين عدم تشکیل فاز TiNi در دمای آنیل بوده است. فاز TiNi همچنانکه در دیاگرام تعادلی مشاهده می شود، در محدوده ترکیب بین فاز های Ni_3Ti ، Ti_2Ni قرار گرفته و در دماهای بالای 820°C تشکیل و در نتیجه سرد شدن آرام توسط یک استحاله یوتکتوئیدی به محصولات ساختار شکل ۱۰ اثری از محصولات استحاله فاز مزبور در بین فاز های Ni_3Ti و Ti_2Ni دیده نمی شود.

در ارتباط با این پدیده به نظر می رسد، وقوع این امر ممکن است متأثر از پیچیدگی پدیده نفوذ در این سیستم باشد. در همین رابطه مطالعات مربوط به وقوع پدیده هایی از این نوع در زوج های نفوذی که در آنها غیبت یک یا چند فاز رخ می دهد، آشکار ساخته است که اصولاً استفاده از دیاگرام های تعادلی برای پیش بینی فاز های مورد انتظار نه تنها در زوج های نفوذی محدود و در ساختارهای لایه نازک، بلکه حتی در زوج های نفوذی نامحدود نیز چندان موفقیت آمیز نیست [۲۰-۱۸]. دلیل این امر را اثرات پارامترهای ترمودینامیکی و سینتیکی بر نفوذ دانسته اند. به عنوان مثال در بررسی پدیده نفوذی در زوج های نیکل - آلمینیم [۲]، مشاهده گردیده است. در دمای 600°C آلمینیم تعیین کننده محصولات واکنش (یعنی، Ni_2Al_3 و NiAl_3) بوده، در صورتی که در دماهای بالاتر، نیکل با تشکیل محصولات از این موقعیت برخوردار

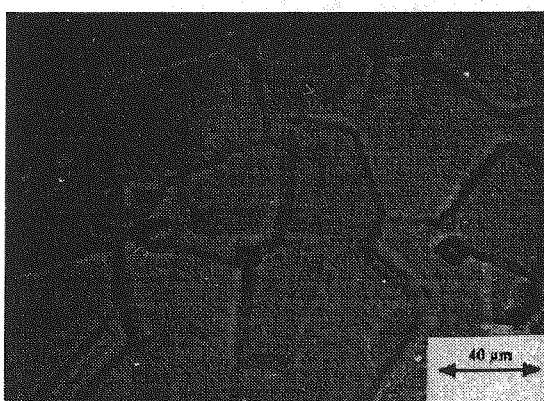
جدول (۱) مشخصات مواد زیرلایه

ترکیب (درصد وزنی)	ماگزینم درصد وزنی ناخالصی						درصد وزنی عناصر آلیاژی	
	Fe	N	C	O	H	Al	Al	V
Ti 6Al 4V	· / ۲	· / ۰۰۴	· / ۰۱۵	· / ۱۳	-	· / ۱	· / ۹	
تیتانیم خالص تجاری	· / ۲	· / ۰۳	· / ۱	· / ۲	· / ۰۱۵	-	-	-
CP(99-2%Ti)								



جدول (۲) زمان پیشنه آنیل نفوذی نمونه های عملیات سطحی شده با پوشش نیکل - فسفر

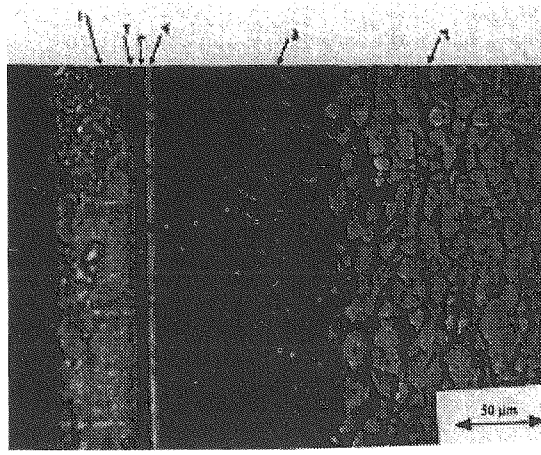
ضخامت لایه نیکل - فسفر (μm)	زمان آنیل (hr)
۲۰	۵
۳۰	۸
۴۰	۱۲
۵۰	۱۷



جدول (۳) زمان پیشنه آنیل دیفوزیونی نمونه های عملیات سطحی شده CP با پوشش نیکل

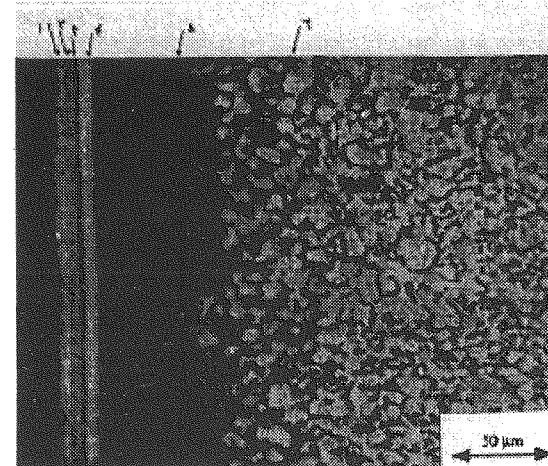
زمان آنیل (hr)	ضخامت لایه نیکل (μm)
۷	۲۰
۱۰	۳۰
۱۵	۴۰
۲۰	۵۰

شکل (۱) الف: ریز ساختار آلیاژ Ti 6Al 4V در شرایط عملیات نشده.
ب: ریز ساختار تیتانیم CP در شرایط عملیات نشده.

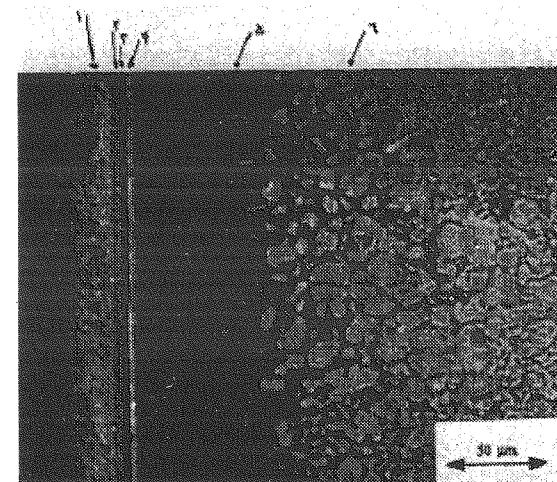
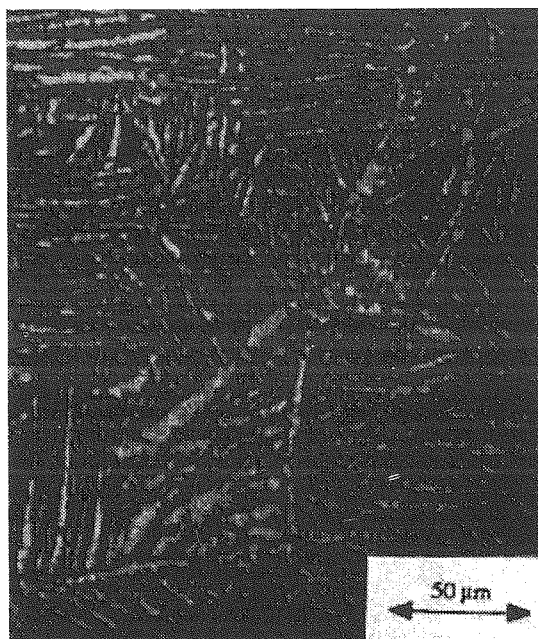


(د)

شکل (۲) ریز ساختار پوشش های نفوذی نیکل - فسفر بر روی آلیاز Ti₆Al₄V، الف: نمونه های با ضخامت پوشش ۲۰ μm، ب: نمونه های با ضخامت پوشش ۳۰ μm، ج: نمونه های با ضخامت پوشش ۴۰ μm، د: نمونه های با ضخامت پوشش ۵۰ μm.

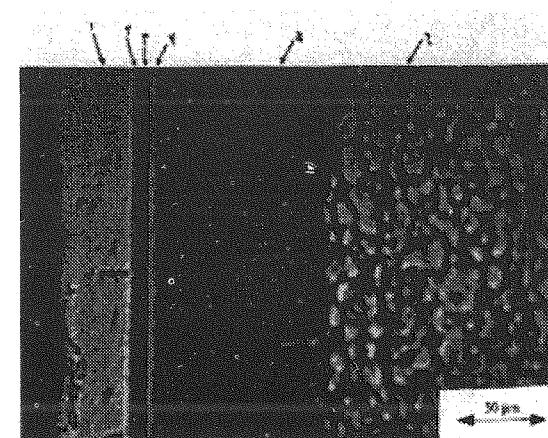


(الف)

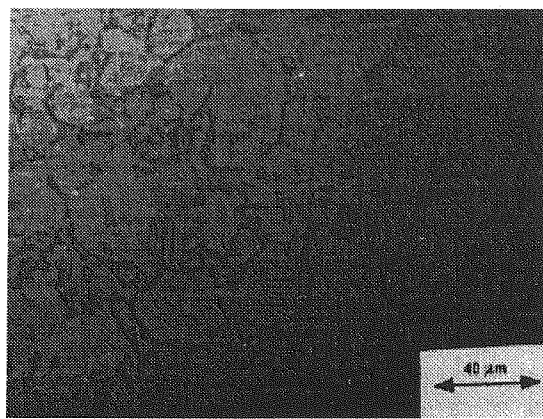


(ب)

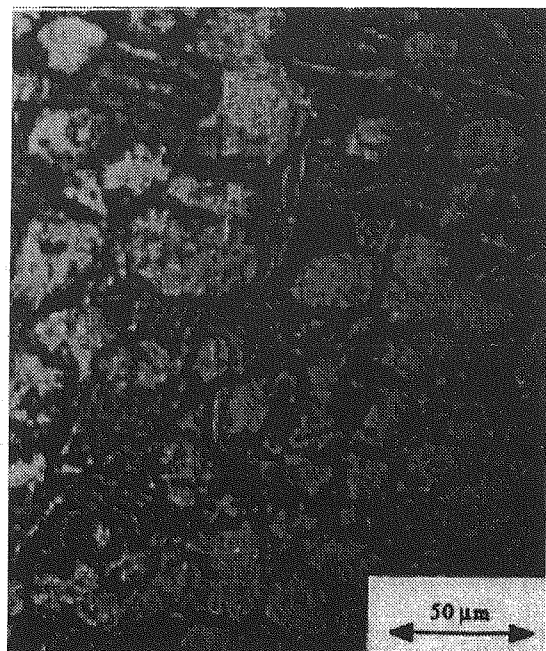
شکل (۳) ریز ساختار لایه پنجم پوشش های نفوذی نیکل - فسفر بعد از حذف لایه های خارجی.



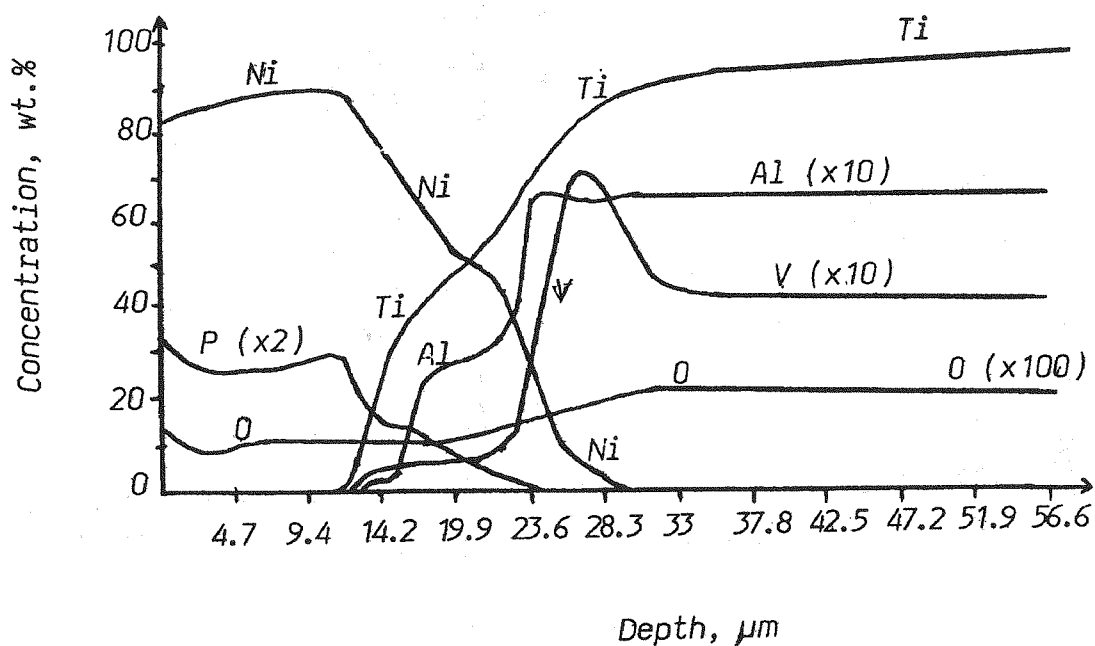
(ج)



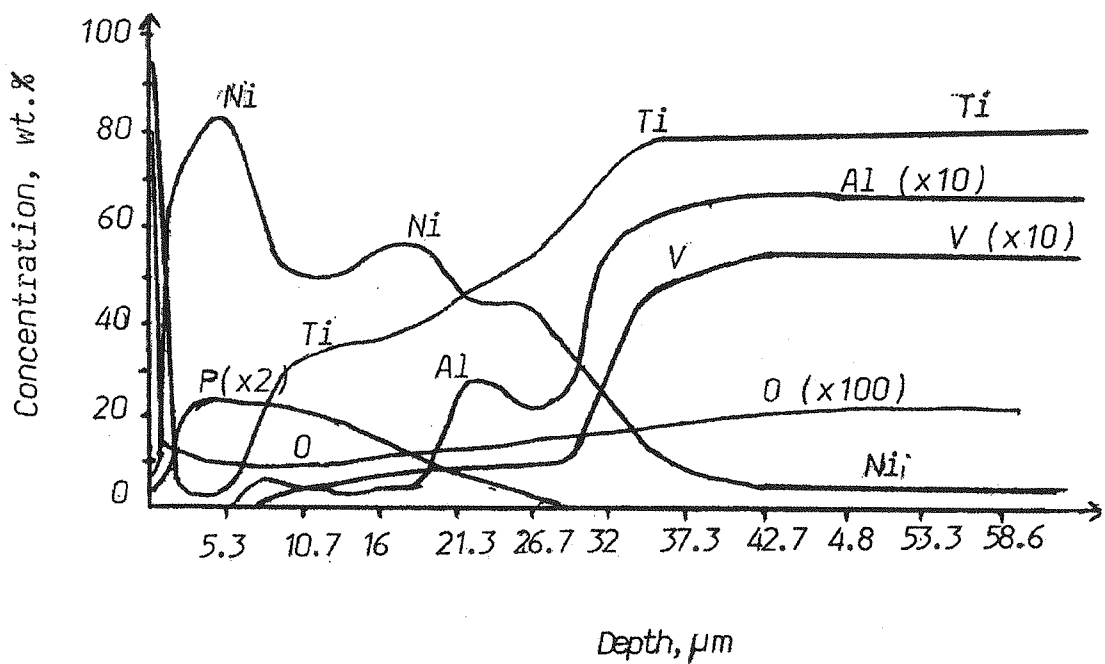
شکل (۵) ریز ساختار زمینه آلیاز $Ti-6Al-4V$ بعد از ۲۰ ساعت آبیل در دمای $820^{\circ}C$.



شکل (۶) ریز ساختار لایه ششم پوشش های نفوذی نیکل - فسفر بعد از حذف لایه های خارجی.

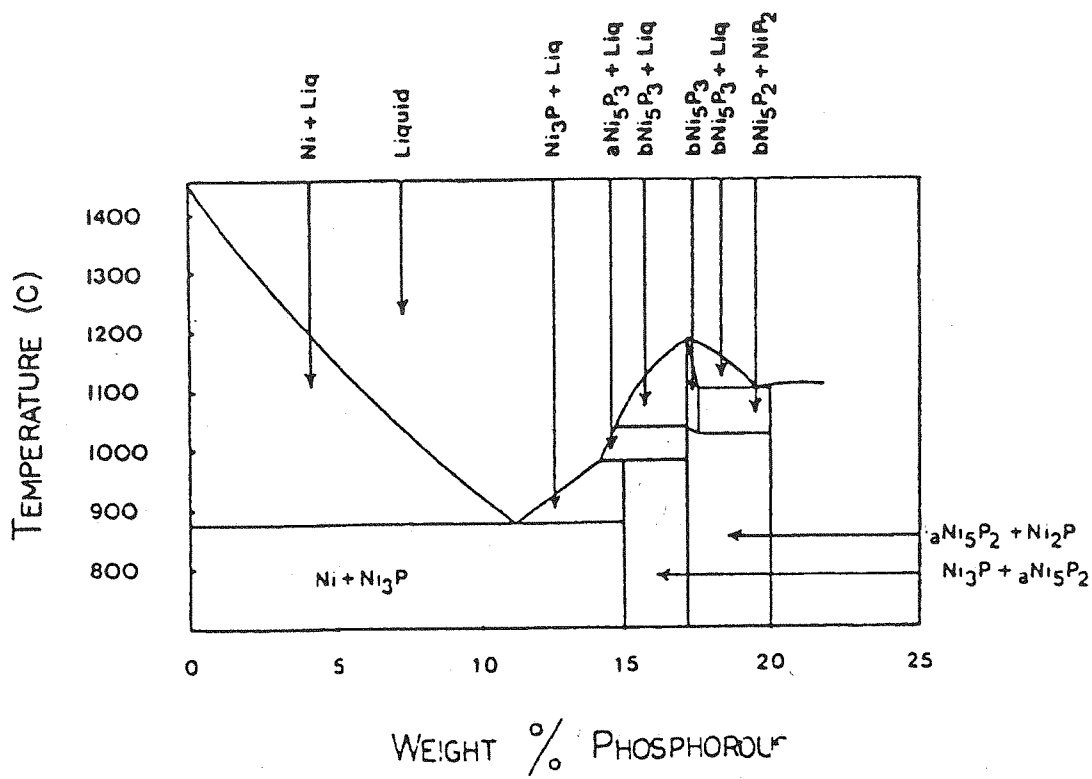


شکل (۶) نمودارهای تغییرات غلظت عناصر در پوشش های نفوذی نیکل - فسفر تشکیل شده بر روی آلیاز $Ti-6Al-4V$ از سطح زمینه که توسط اسپکتروسکوپی پلاسمایی صورت گرفته است.

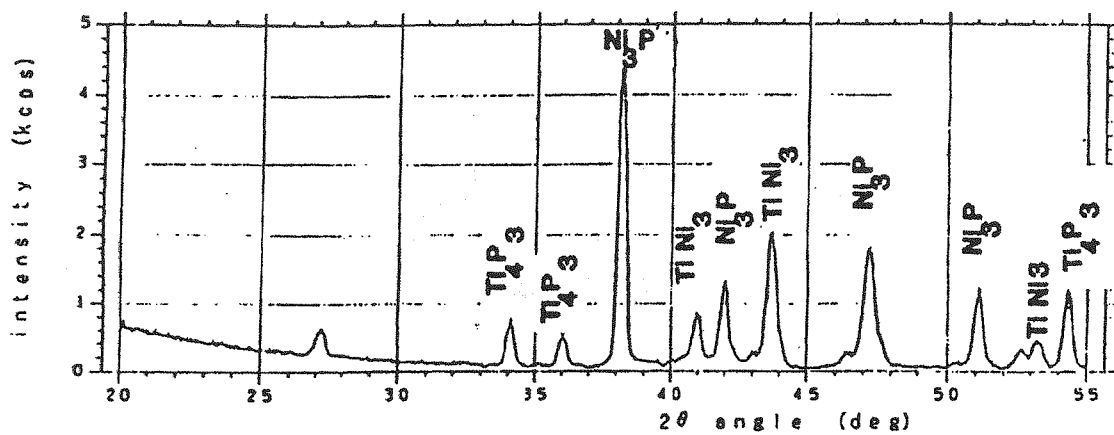


ب: بعد از آبیل در زمان پهینه

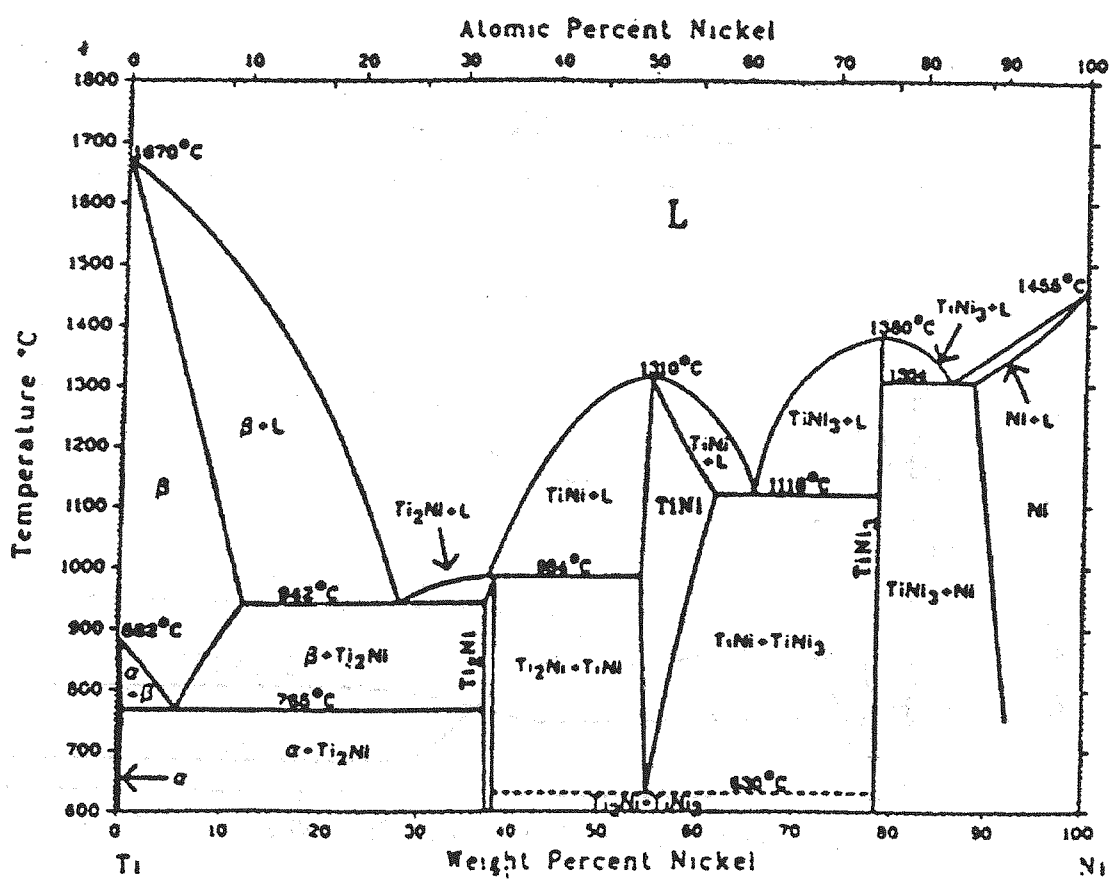
شکل (۶) نمودارهای تغییرات غلظت عناصر در پوشش‌های نفوذی نیکل - فسفر تشکیل شده بر روی آبیاز ۴V ۶Al ۶Ti از سطح زمینه که توسط اسپکتروسکوپی پلاسمایی صورت گرفته است.



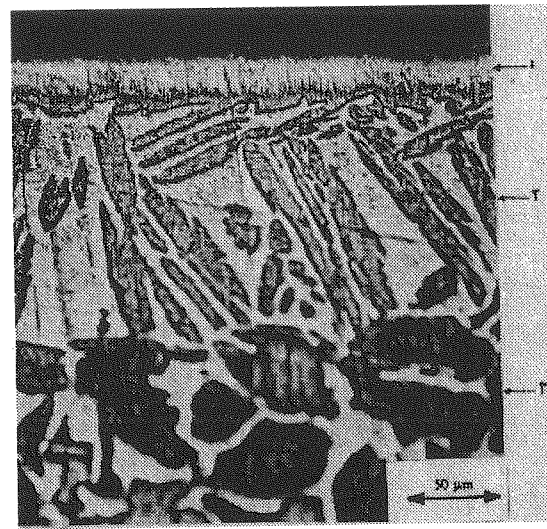
شکل (۷) دیاگرام فازی سیستم [۱۸]Ni-P



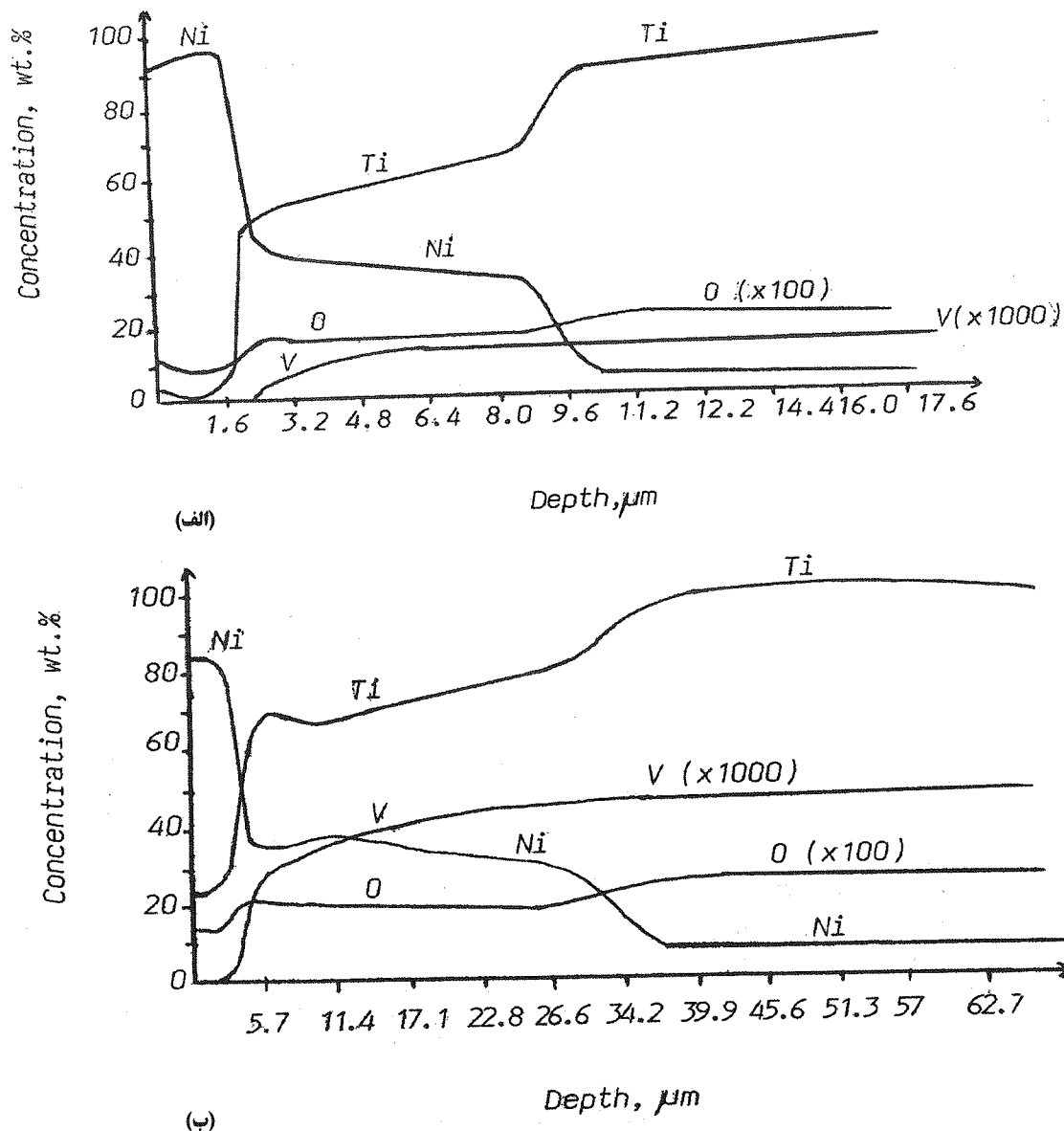
شکل (۸) نتایج به دست آمده از تفوق اشعه ایگس بر روی سطح خارجی پوشش های نفوذی نیکل - فسفر.



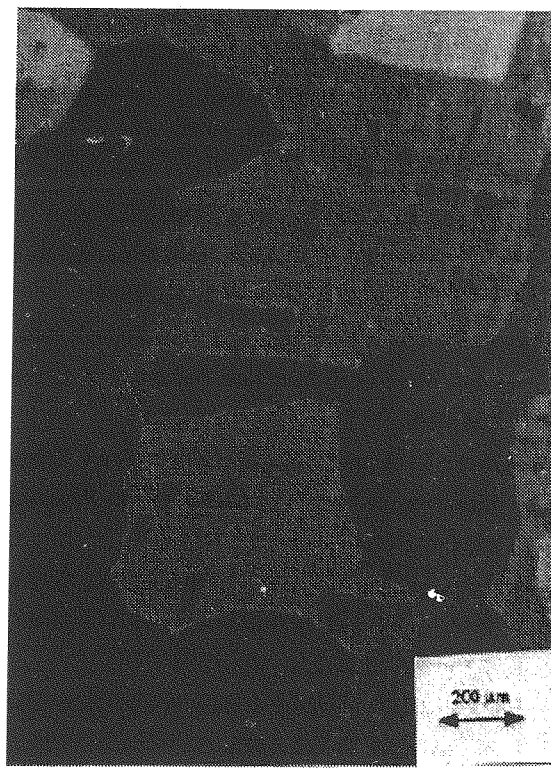
شکل (۹) دیاگرام تعادلی سیستم Ti-Ni [۱۸]



شکل (۱۰) ریز ساختار شاخص پوشش های نفوذی نیکل بر روی تیتانیوم CP.



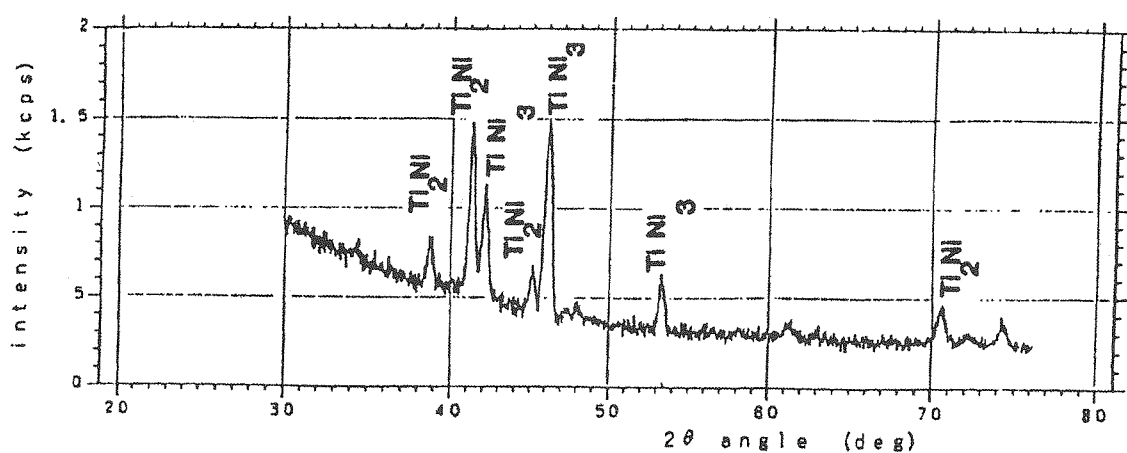
شکل (۱۱) نمودارهای تغییرات غلظت عناصر در پوشش های نفوذی نیکل تشکیل شده بر روی تیتانیوم CP از سطح به سمت زمینه که توسط اسپکتروسکوپی پلاسمایی صورت گرفته است. الف: بعد از آبیل در زمان های کمتر از بینه ب؛ بعد از آبیل در زمان بینه.



شکل (۱۳) ریز ساختار زمینه تیتانیم CP بعد از ۲۰ ساعت آنیل در دمای 820°C .



شکل (۱۲) ریز ساختار لایه سوم پوشش های نفوذی نیکل بعد از حذف لایه های خارجی.



شکل (۱۴) نتایج به دست آمده از تفرق اشعه ایکس بر روی سطح خارجی پوشش‌های نفوذی نیکل.

- [1] Hintermann H. E. "Adhesion, Friction and Wear of Thin Hard Coatings", Wear, Vol. 100, 381-397, 1984.
- [2] Hutching R. and Oliver W. C., "A Study of the Improved Wear Performance of Nitrogen-Implanted Ti-6Al-4V", Wear, Vol. 92, 143-153, 1983.
- [3] Yerramareddy S. and Bahadur S., "The Effect of Laser Surface Treatments on the Tribological Behaviour of Ti-6Al-4V", Wear, Vol. 157, 245-262.
- [4] Salehi M., "BRITE Seventh Progress Reports on Surface Engineering of Titanium Components", University of Birmingham, 1989.
- [5] Salehi M., Bell T. and Morton P.H., "Load Bearing Capacity of Plasma Nitrided and Ion Plated Titanium Alloys", Surface Modification Technologies IV, Edited by Sudarshan T.S. et al, TMS, 991-1002, 1991.
- [6] زهوری علی، حسینی رحمان و صالحی مهدی، «عملیات سطحی آلیاژ Ti₆Al₄V توسط پوشش‌های دیفوژیونی نیکل - فسفر»، مطالوری سطح و تریبو‌لوژی، جلد دوم، انجمن علوم و تکنولوژی سطح ایران، ۳۶-۲۷، ۱۳۷۴.
- [7] زهوری علی، حسینی رحمان و صالحی مهدی، «نقش پوشش‌های دیفوژیونی نیکل بر خواص سطحی تیتانیم خالص تجاری»، مطالوری سطح و تریبو‌لوژی، جلد دوم، انجمن علوم و تکنولوژی سطح ایران، ۱۶-۲۶، ۱۳۷۴.
- [8] Salehi M. and Hoseini R., "Structural Characterisation of Novel Ti - Cu Intermetallic Coatings", Surface Engineering, Vol. 12, No. 3, 221-225, 1996.
- [9] Keyse R. J. and Hammond C., "Structure and Morphology of Electroless Ni-P Deposits", Mater. Sci. Techno., Vol. 3, 963-972, 1987.
- [10] Gawne D. T. and Ma U., "Structure and Wear of Electroless Nickel Coatings", Mater. Sci. Techno., Vol. 3, 228-238, 1978.
- [11] Lu G.X., Li G. F. and Yu F-C., "The Effect of Phosphorous Content and Heat Treatment on Wear Resistance of Electroless Deposited Ni-P Alloys" Wear, Vol. 103, 269-278, 1985.
- [12] Shewmon P.: Diffusion in Solids, 2nd ed., Minerals, Metals and Materials Society, Pennsylvania, 1989.
- [13] Porter D. A. and Easterling K. E. : Phase Transformation in Metals and Alloys, Van Nostrand Reinhold Company, 1981.
- [14] Lu G.-x and Liu J.-R., "Unlubricated Sliding Wear of Nickel Diffusion-Coated Ti-6Al-4V" Wear, Vol. 121, 250-269, 1988.
- [15] Massalski T. B. (ed.): Binary Alloy Phase Diagram, ASM, Vol. 2, 1986.
- [16] Red-Hill R.E.: Physical Metallurgy Principles, 2nd ed., Van Nostrand Company, 1973.
- [17] Smallman R. E: Modern Physical Metallurgy, 4th ed., Butterworths, London, 1985.
- [18] Emiliani M., Richman M. and Brown R., "Diffusion of Sputtered Inconel 617 Coatings in Titanium", Metall. Trans. A, Vol. 21, 1613-1325, 1990.
- [19] Nishida M., Wayman C.M. and Honma T., "Precipitation Processes in Near-Equiatomic TiNi Shape Memory Alloys", Metall. Trans. A, Vol. 17A, 1505-1515, 1986.
- [20] Knowles K.M. and Smith D.A., Acta Metall., Vol. 29, 101-110, 1981.